

FIG. 1

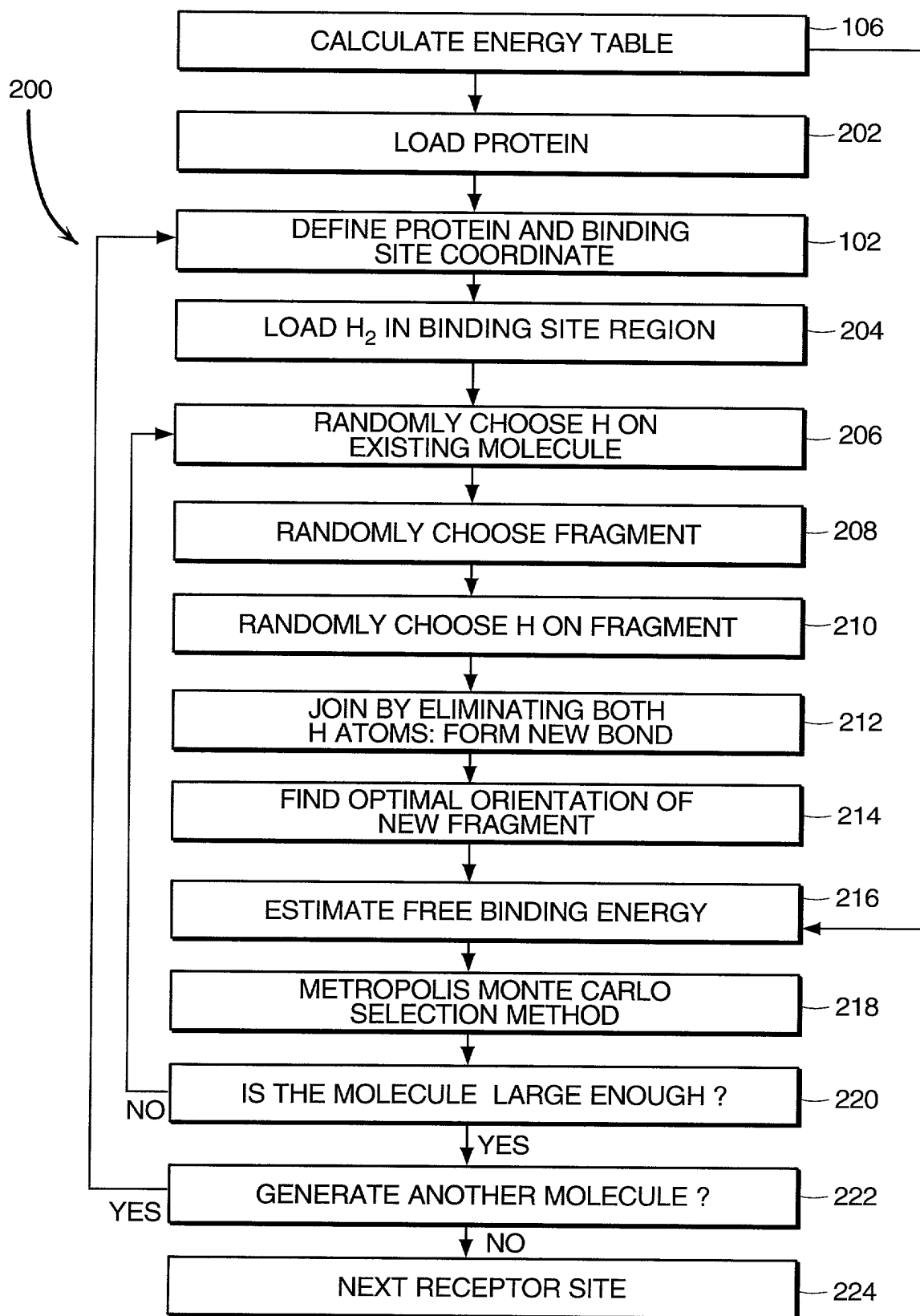


FIG. 2

PCT/US2009/042353

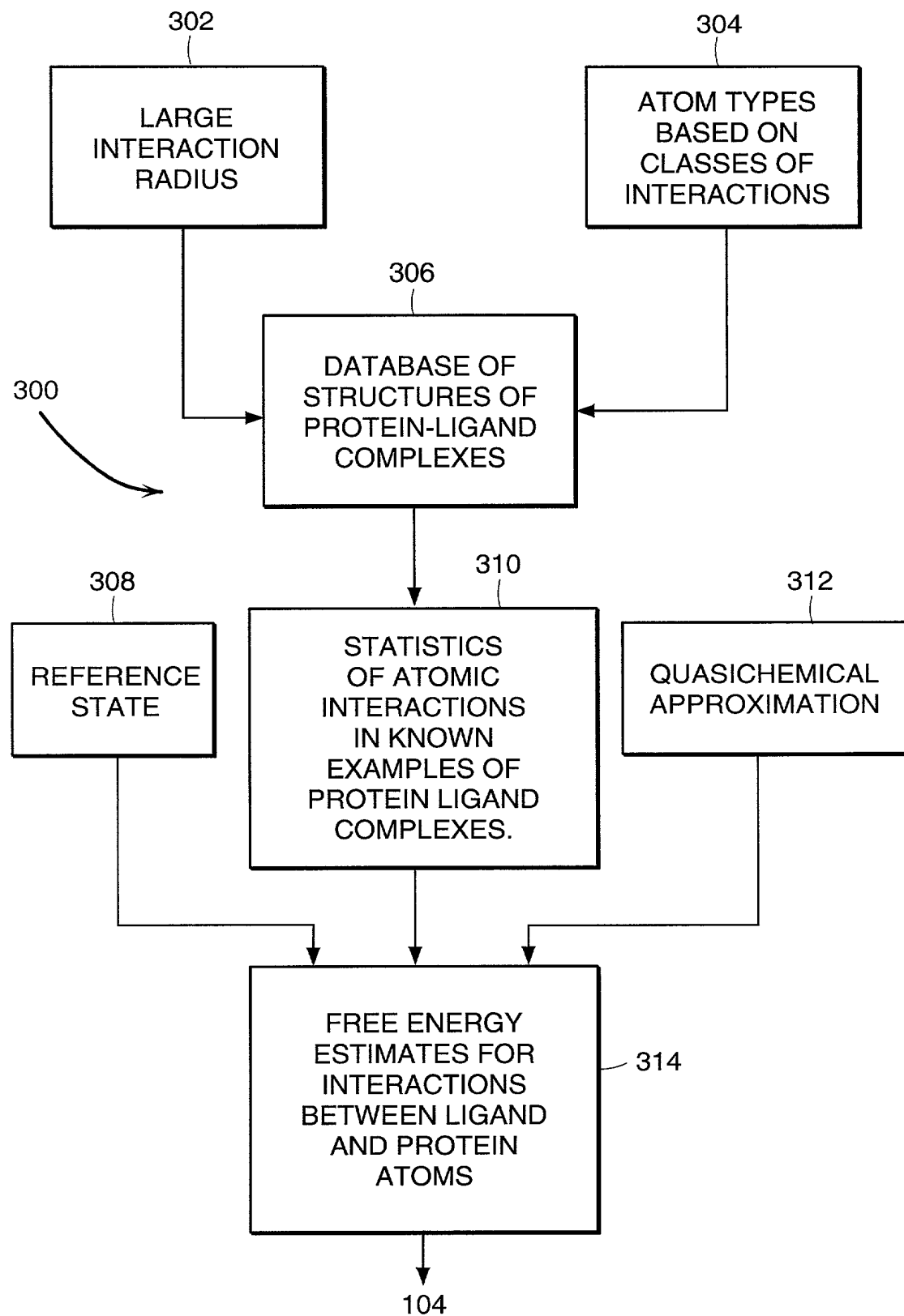


FIG. 3

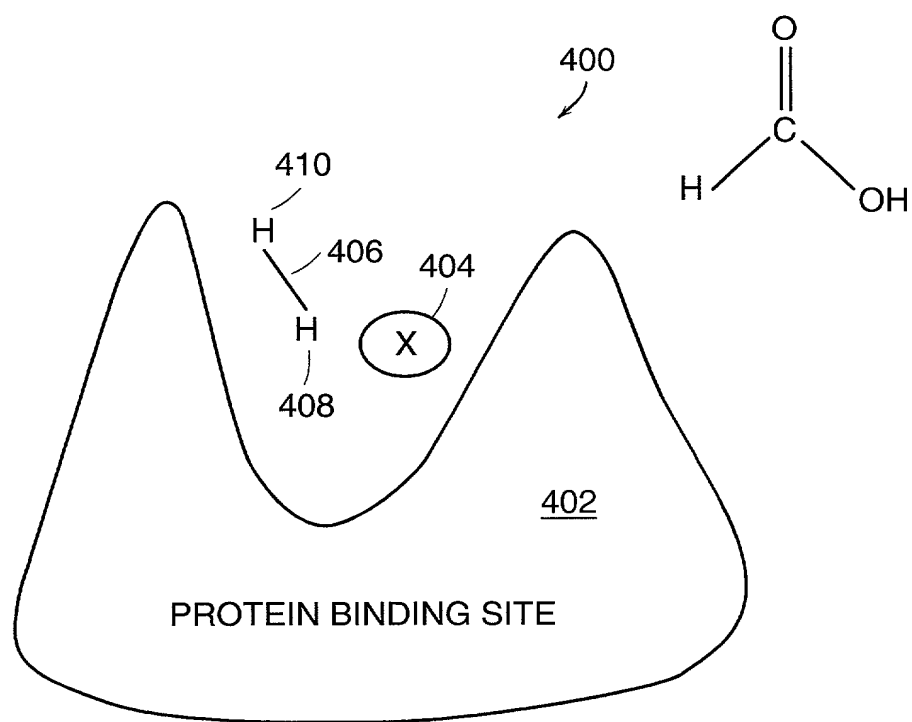


FIG. 4

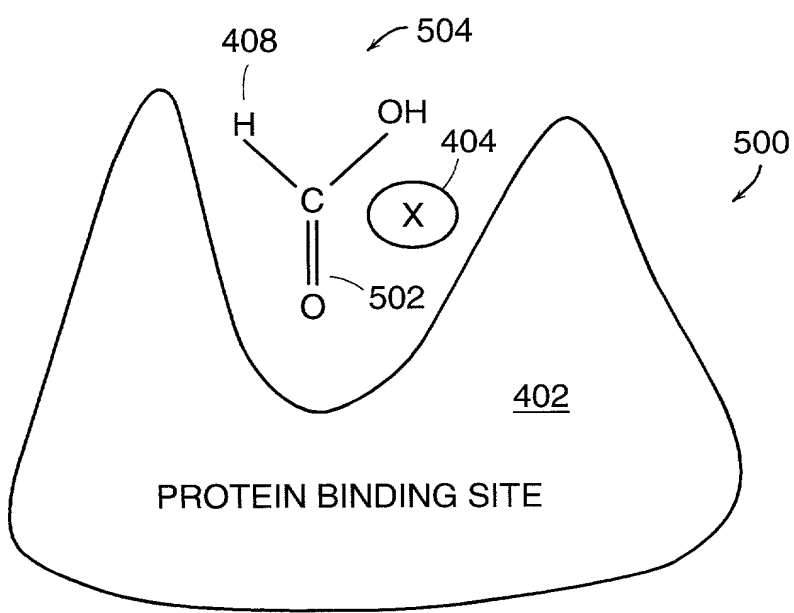


FIG. 5

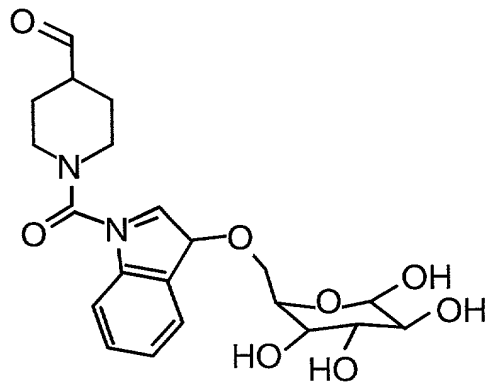
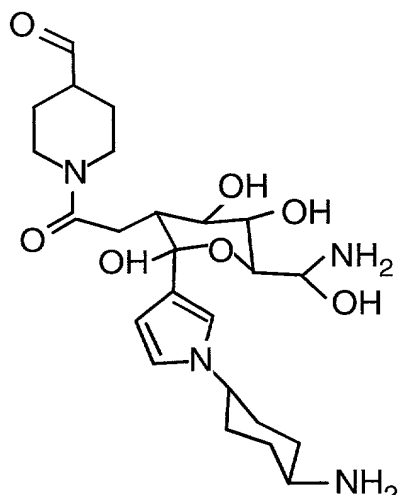
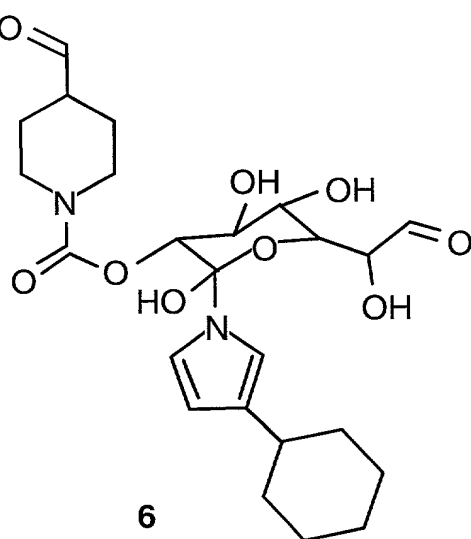
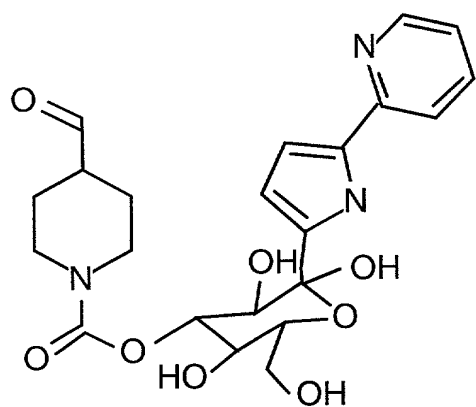
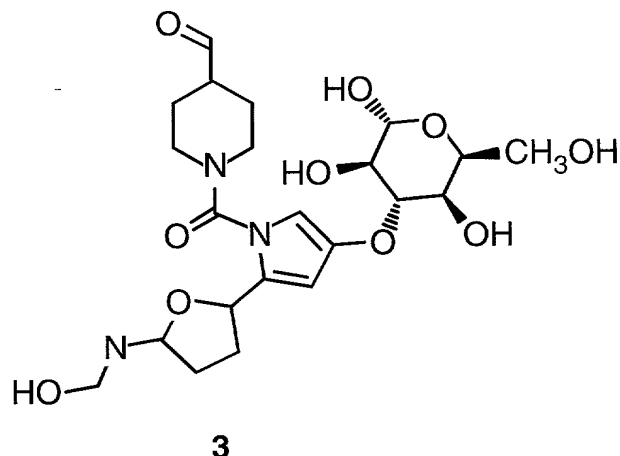
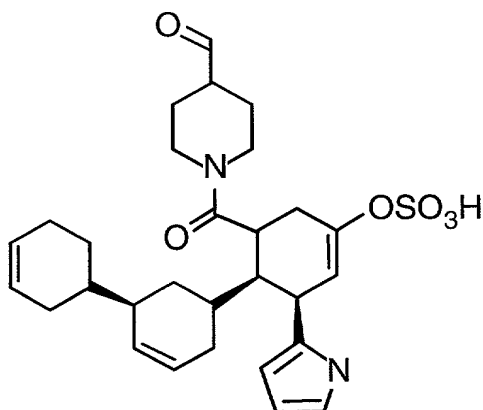
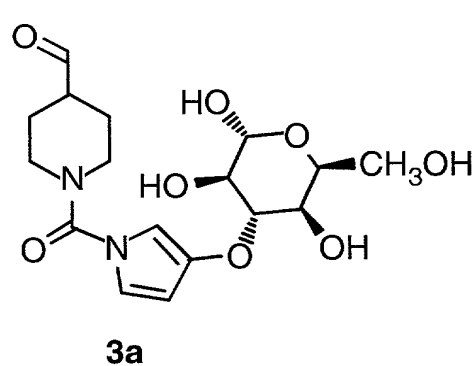
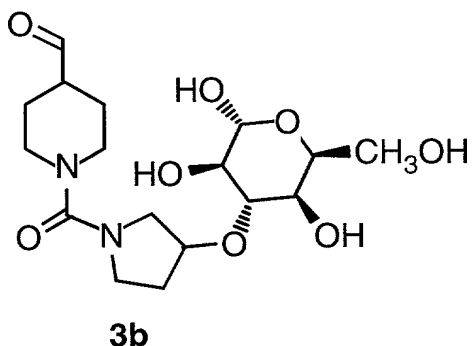


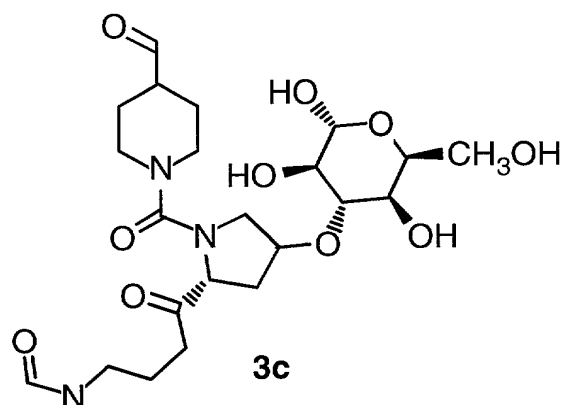
FIG. 6



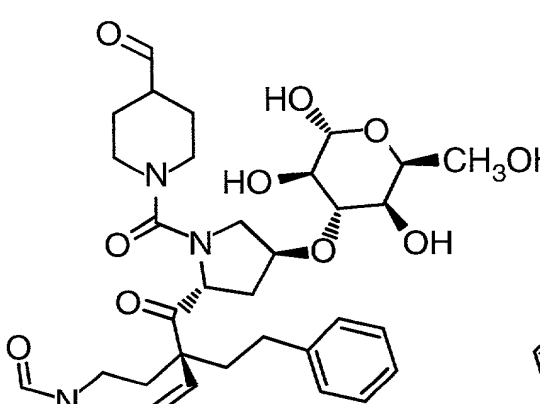
3a



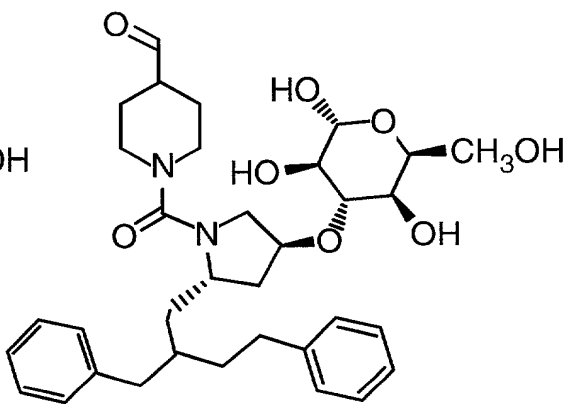
3b



3c



3d



3e

FIG. 7

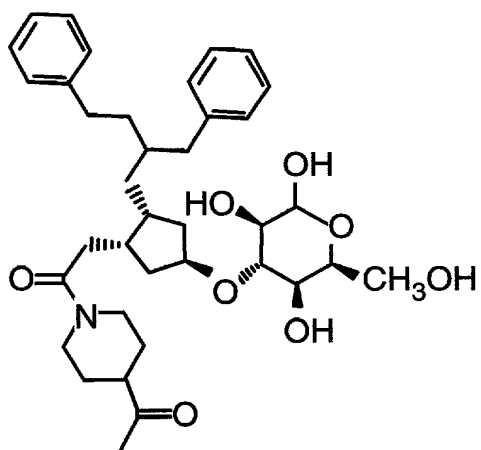


FIG. 8a

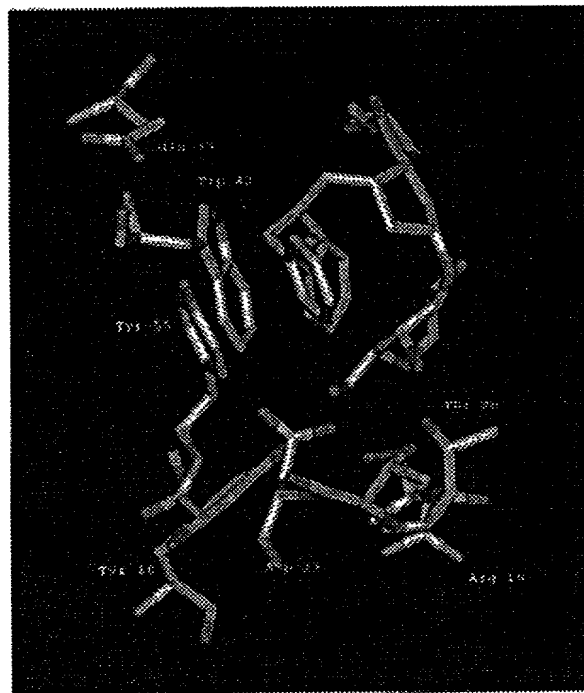


FIG. 8b

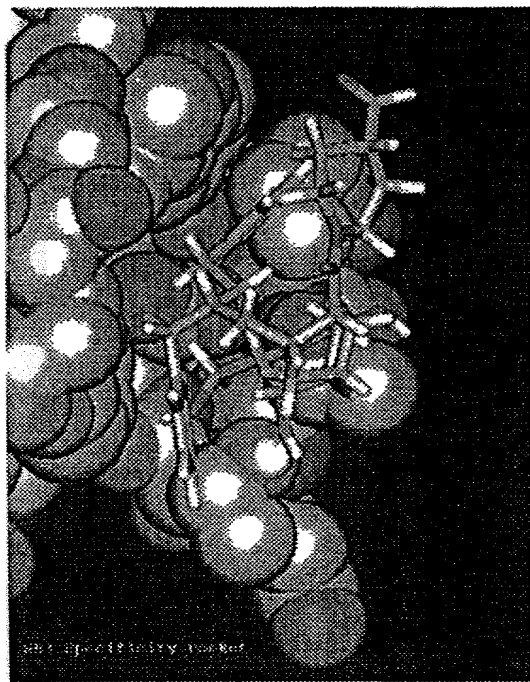


FIG. 8c

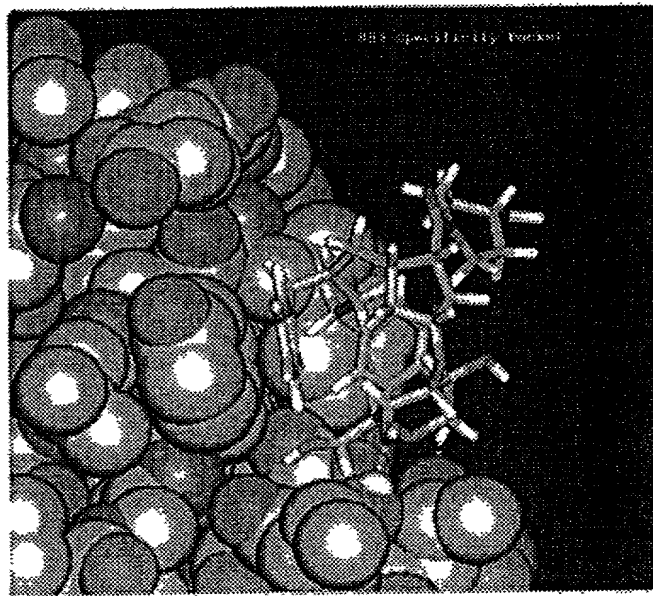


FIG. 8d

**FIG.
9A**

**FIG.
9B**

FIG. 9

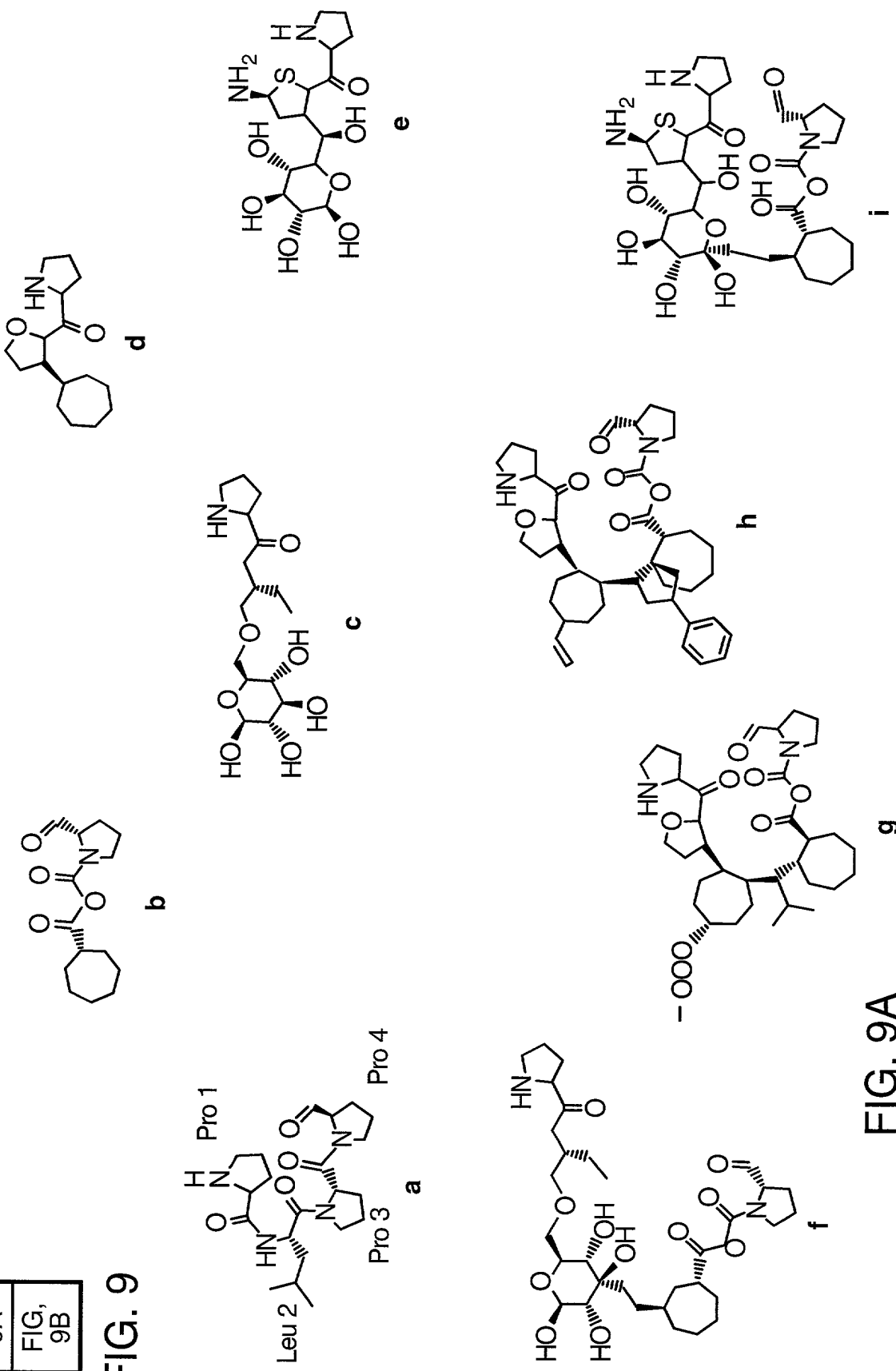


FIG. 9A

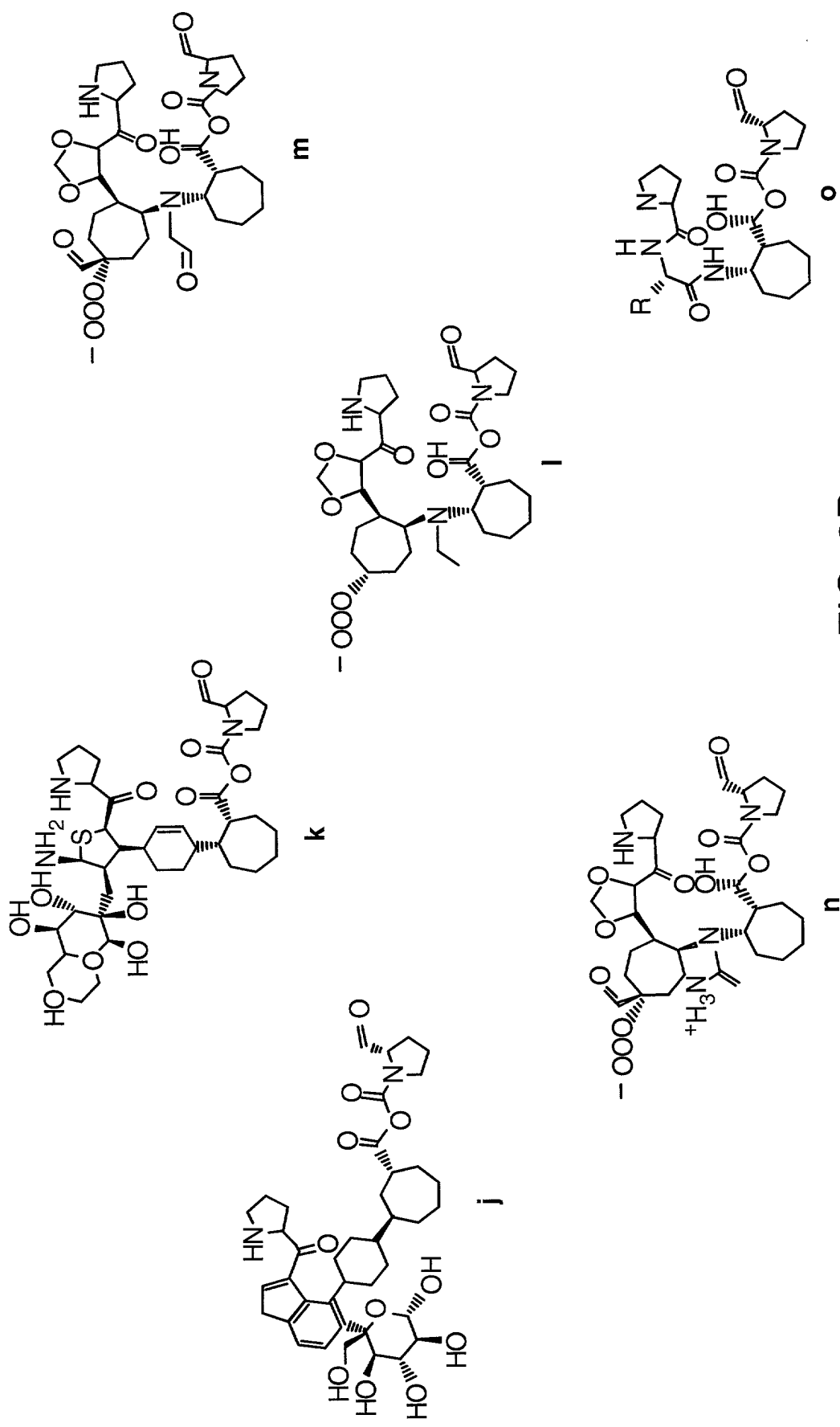
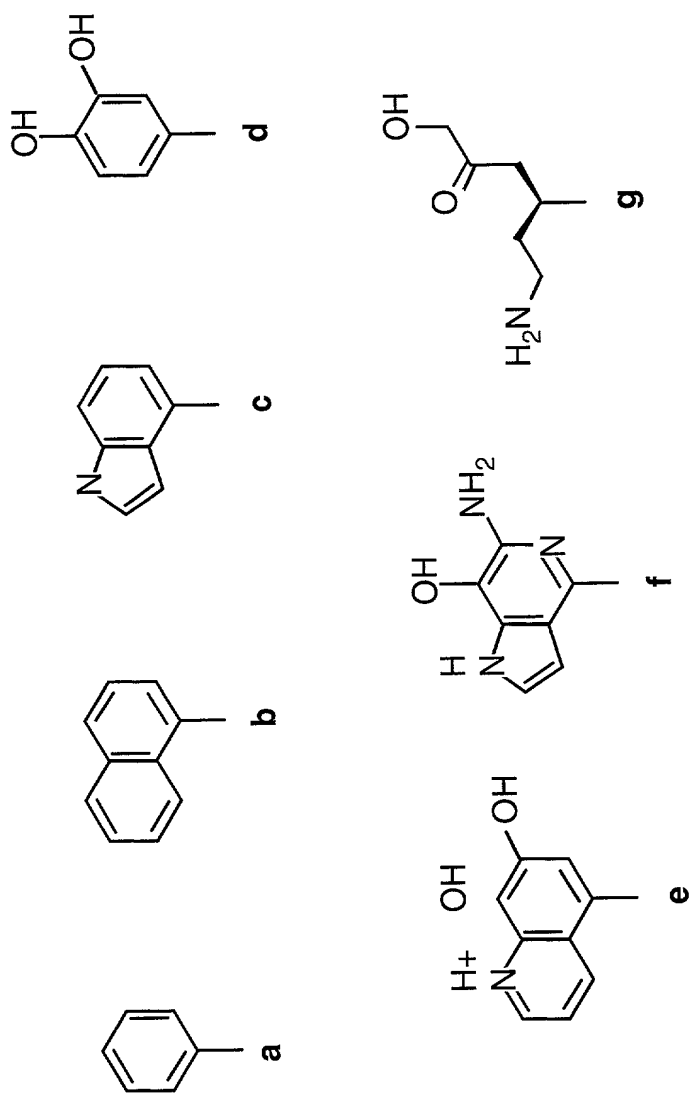


FIG. 9B

FIG. 10



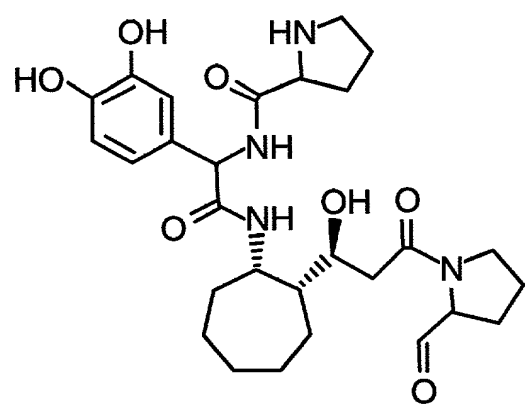


FIG. 11a

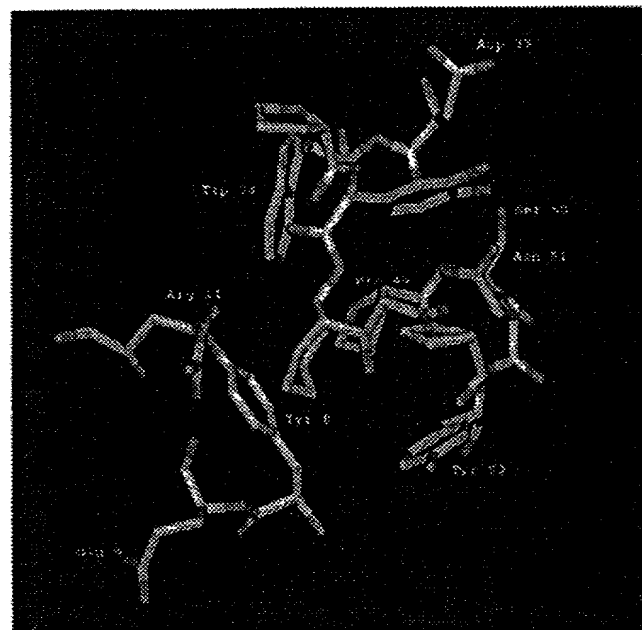


FIG. 11b

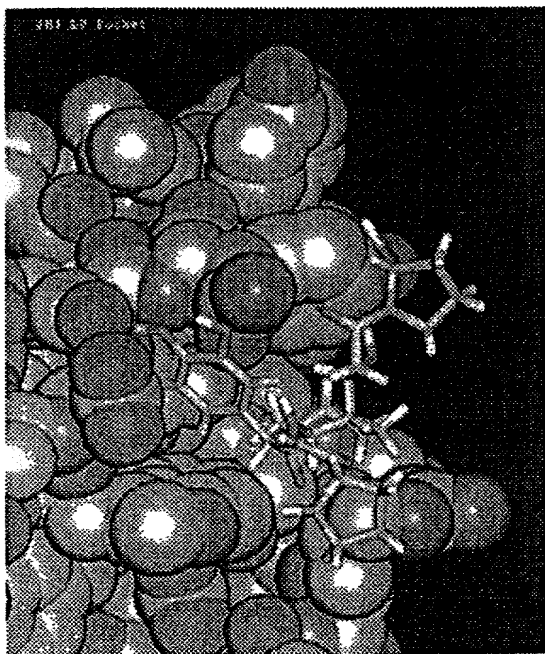


FIG. 11c

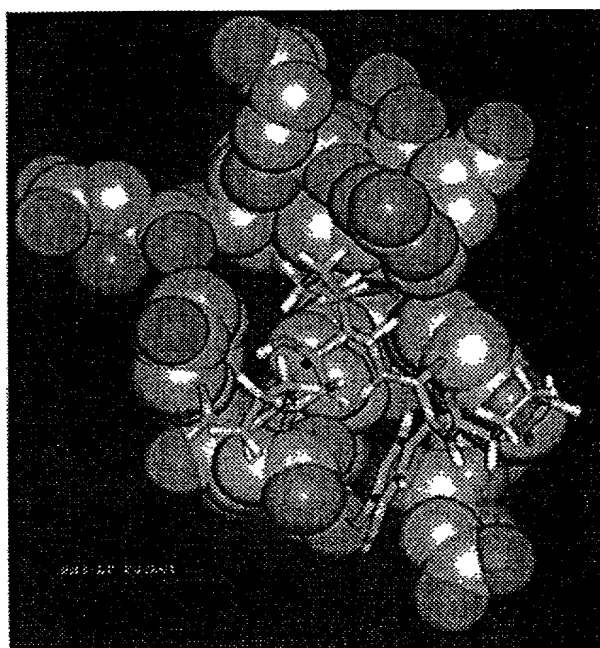


FIG. 11d

13/16

© 1996 Elsevier Science Ltd. All rights reserved.

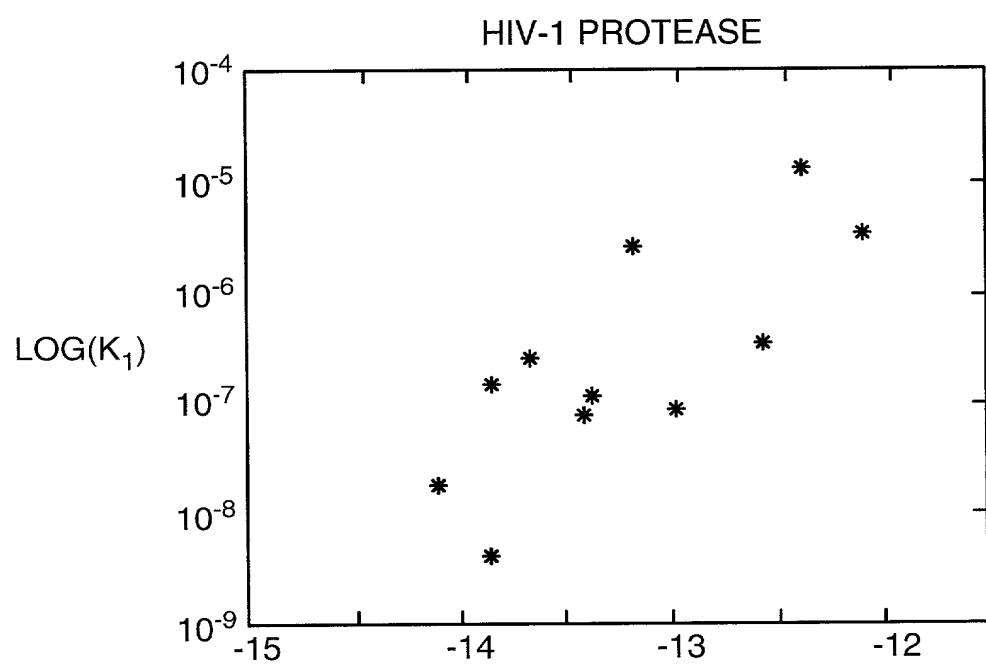


FIG. 12

14/16

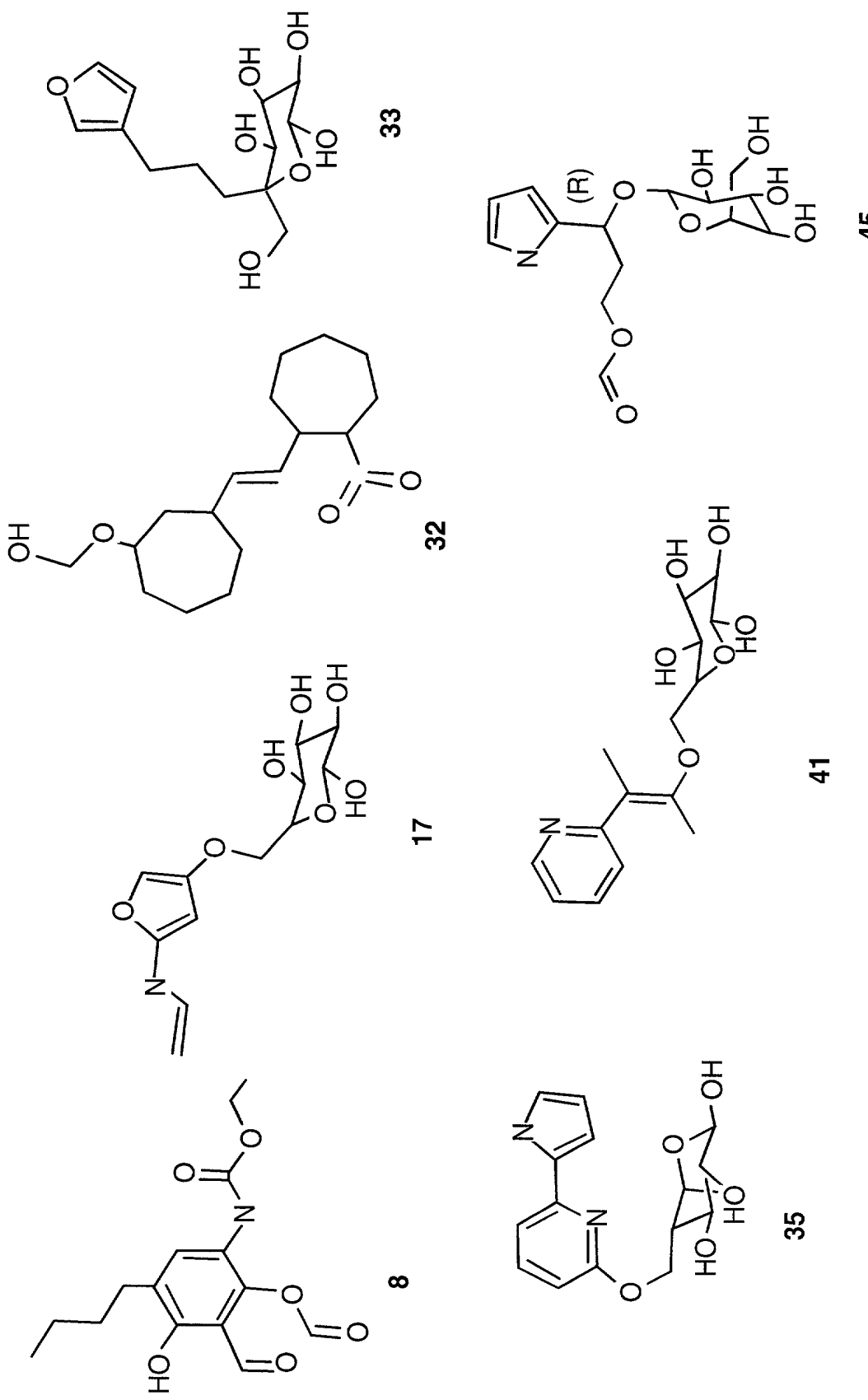
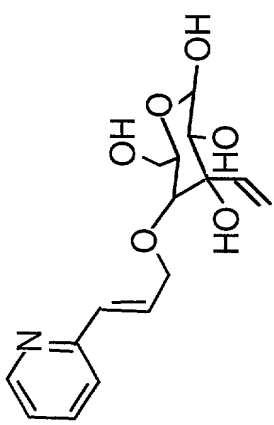
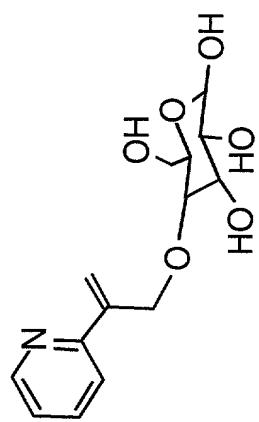


FIG. 13

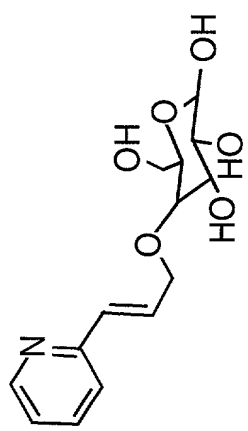
15/16



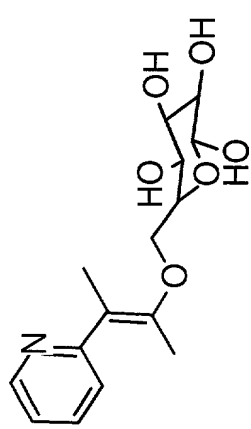
41c



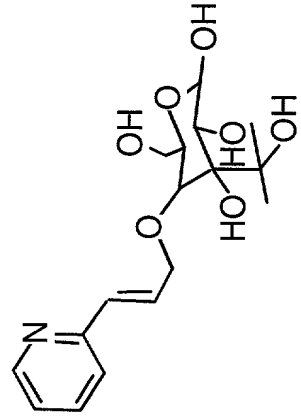
41b



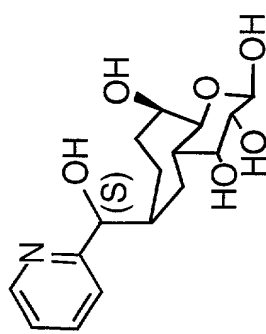
41c



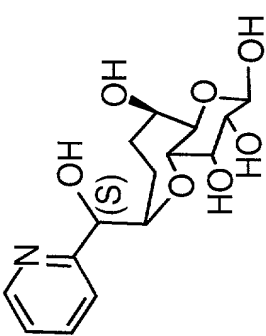
41d



41e



41f



41g

FIG. 14

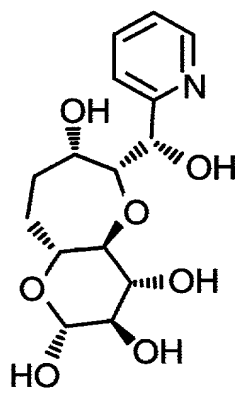


FIG. 15a

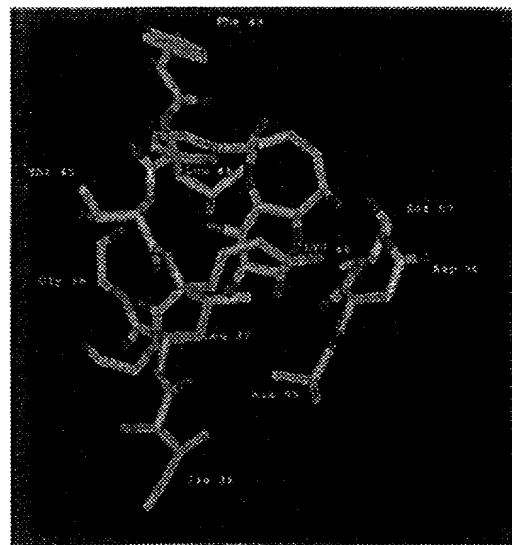


FIG. 15b

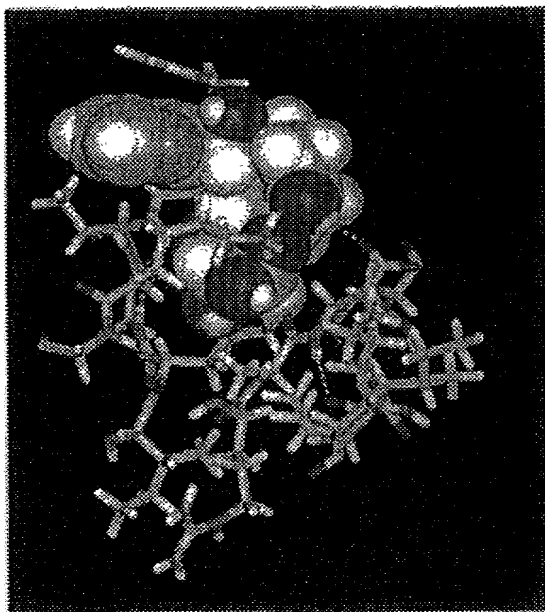


FIG. 15c

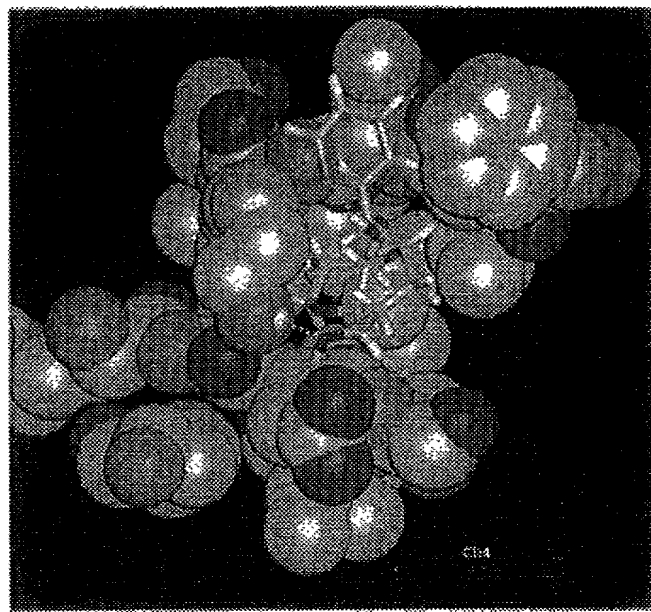


FIG. 15d